



Министерство науки и высшего образования Российской Федерации  
Федеральное государственное бюджетное образовательное  
учреждение высшего образования  
«Московский государственный технический университет имени  
Н.Э. Баумана  
(национальный исследовательский университет)»  
(МГТУ им. Н.Э. Баумана)

---

ФАКУЛЬТЕТ «Информатика и системы управления»

---

КАФЕДРА «Программное обеспечение ЭВМ и информационные технологии»(ИУ7)

---

НАПРАВЛЕНИЕ ПОДГОТОВКИ 09.03.04 «Программная инженерия»

---

## О Т Ч Е Т

### по лабораторной работе № 2

Название Изучение принципов работы микропроцессорного ядра RISC-V

---

Дисциплина Архитектура электронно-вычислительных машин

---

Студент:

\_\_\_\_\_  
подпись, дата

Золотухин А. В.

Фамилия, И.О.

Преподаватель:

\_\_\_\_\_  
подпись, дата

Попов А. Ю.

Фамилия, И. О.

Москва — 2022 г.

## Цель работы

Основной целью работы является ознакомление с принципами функционирования, построения и особенностями архитектуры суперскалярных конвейерных микропроцессоров. Дополнительной целью работы является знакомство с принципами проектирования и верификации сложных цифровых устройств с использованием языка описания аппаратуры SystemVerilog и ПЛИС.

# Основные теоретические сведения

RISC-V является открытым современным набором команд, который может использоваться для построения как микроконтроллеров, так и высокопроизводительных микропроцессоров.

В данной работе исследуется набор команд RV32I, который включает в себя основные команды 32-битной целочисленной арифметики кроме умножения и деления.

Набор команд RV32I предполагает использование 32 регистров общего назначения x0-x31 размером в 32 бита каждый и регистр pc, хранящего адрес следующей команды. Все регистры общего назначения равноправны, в любой команде могут использоваться любые из регистров. Регистр pc не может использоваться в командах.

Архитектура RV32I предполагает плоское линейное 32-х битное адресное пространство. Минимальной адресуемой единицей информации является 1 байт. Используется порядок байтов от младшего к старшему (Little Endian), то есть, младший байт 32-х битного слова находится по младшему адресу (по смещению 0). Отсутствует разделение на адресные пространства команд, данных и ввода-вывода. Распределение областей памяти между различными устройствами (ОЗУ, ПЗУ, устройства ввода-вывода) определяется реализацией.

Большая часть команд RV32I является трехадресными, выполняющими операции над двумя заданными явно операндами, и сохраняющими результат в регистре. Операндами могут являться регистры или константы, явно заданные в коде команды. Операнды всех команд (кроме команды auipc) задаются явно.

Архитектура RV32I, как и большая часть RISC-архитектур, предполагает разделение команд на команды доступа к памяти (чтение данных из памяти в регистр или запись данных из регистра в память) и команды обработки данных в регистрах.

# Общая для всех вариантов программа

## Исследуемая программа

Исходный текст исследуемой программы представлен на рисунке 1.

```
.section .text (1)
.globl _start (2)
len = 8 # size of array (3)
enroll = 4 #amount of processed elements in one iteration
elem_sz = 4 #size of one element in array
_start: (4)
addi x20, x0, len/enroll (5)
la x1, _x (6)
loop:
lw x2, 0(x1) (7)
add x31, x31, x2 (8)
lw x2, 4(x1)
add x31, x31, x2
lw x2, 8(x1)
add x31, x31, x2
lw x2, 12(x1)
add x31, x31, x2
addi x1, x1, elem_sz*enroll (9)
addi x20, x20, -1 (10)
bne x20, x0, loop (11)
addi x31, x31, 1
forever: j forever (12)

.section .data (13)
_x: .4 byte 0x1 (14)
.4 byte 0x2
.4 byte 0x3
.4 byte 0x4
.4 byte 0x5
.4 byte 0x6
.4 byte 0x7
.4 byte 0x8
```

Рисунок 1 – Исходный код программы

Дизассемблерный листинг исследуемой программы представлен на рисунке 2

```
80000000 <_start>:
80000000: 00200a13      addi    x20 , x0 , 2
80000004: 00000097      auipc   x1 , 0x0 (1)
80000008: 03c08093      addi    x1 , x1 , 60 # 80000040 <_x>

8000000c <loop>:
8000000c: 0000a103      lw      x2 , 0( x1 )
80000010: 002f8fb3      add     x31 , x31 , x2
80000014: 0040a103      lw      x2 , 4( x1 )
80000018: 002f8fb3      add     x31 , x31 , x2
8000001c: 0080a103      lw      x2 , 8( x1 )
80000020: 002f8fb3      add     x31 , x31 , x2
80000024: 00c0a103      lw      x2 , 12( x1 )
80000028: 002f8fb3      add     x31 , x31 , x2
8000002c: 01008093      addi    x1 , x1 , 16
80000030: fffa0a13      addi    x20 , x20 , -1
80000034: fc0a1ce3      bne     x20 , x0 , 8000000c <loop>
80000038: 001f8f93      addi    x31 , x31 , 1

8000003c <forever>:
8000003c: 0000006f      jal     x0 , 8000003c <forever>
```

Рисунок 2 – Дизассемблированный код программы

Можно сказать, что данная программа эквивалентна псевдокоду на языке С, представленному на рисунке 3.

```
#define len 8
#define enroll 4
#define elem_sz 4
int _x[]={1,2,3,4,5,6,7,8};
void _start() {
    int x20 = len/enroll;
    int x1 = _x;

    do {
        int x2 = x1[0];
        x31 += x2;
        x2 = x1[1];
        x31 += x2;
        x2 = x1[2];
        x31 += x2;
        x2 = x1[3];
        x31 += x2;
        x1 += enroll;
        x20--;
    } while (x20 != 0);
    x31++;
    while (1) {}
}
```

Рисунок 3 – Псевдокод программы

# Результаты исследования программы

Все задания выполнялись по индивидуальному варианту (5).

Скриншот, полученный в ходе выполнения задания №2 (получить снимок экрана, содержащий временную диаграмму выполнения стадий выборки и диспетчеризации команды с адресом 8000001c на первой итерации) представлен на рисунке 4.

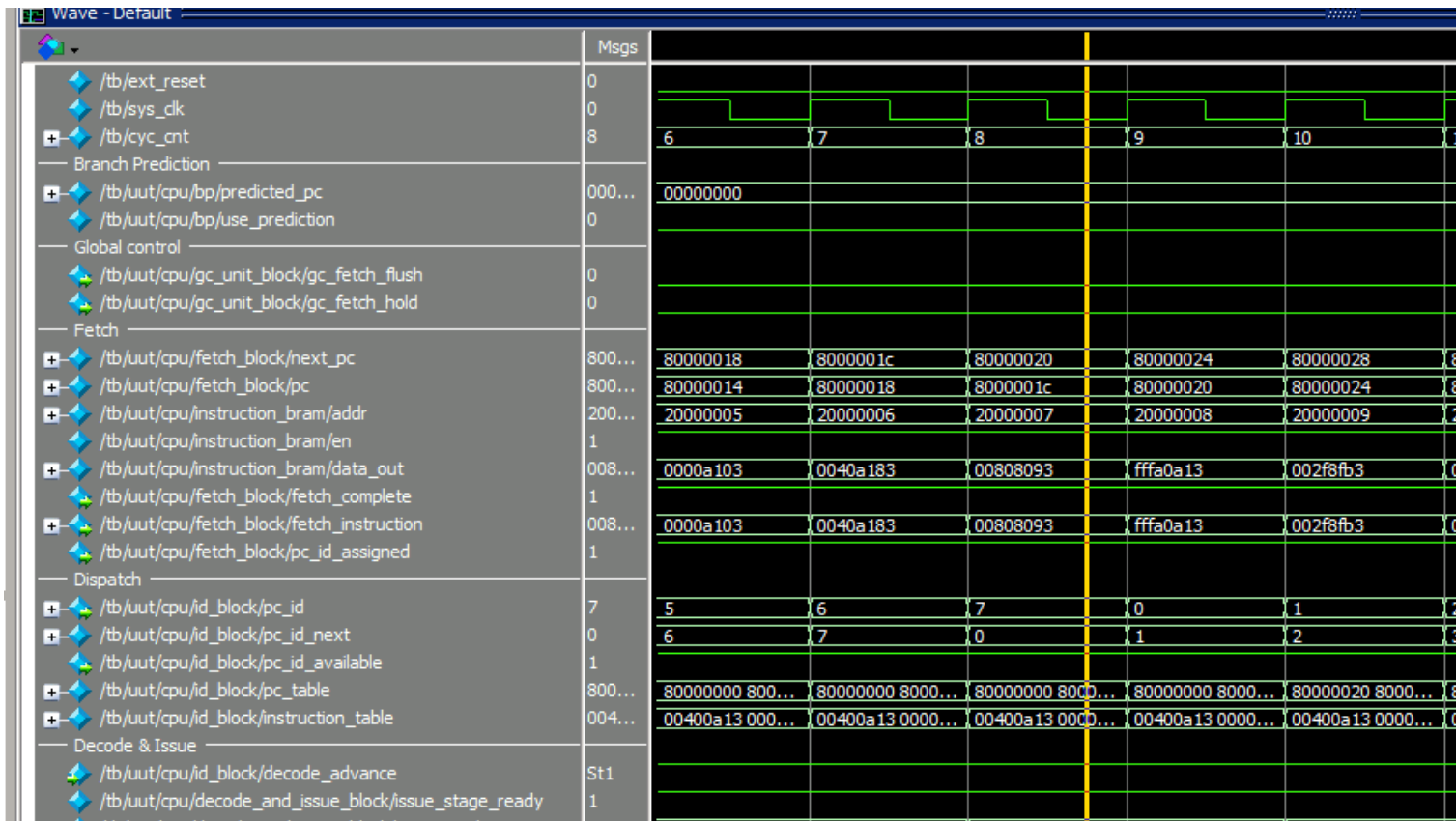


Рисунок 4 – Временная диаграмма выполнения стадий выборки и диспетчеризации

Скриншот, полученный в ходе выполнения задания №3 (получить снимок экрана, содержащий временную диаграмму выполнения стадии декодирования и планирования на выполнение команды с адресом 80000028 на первой итерации) представлен на рисунке 5.

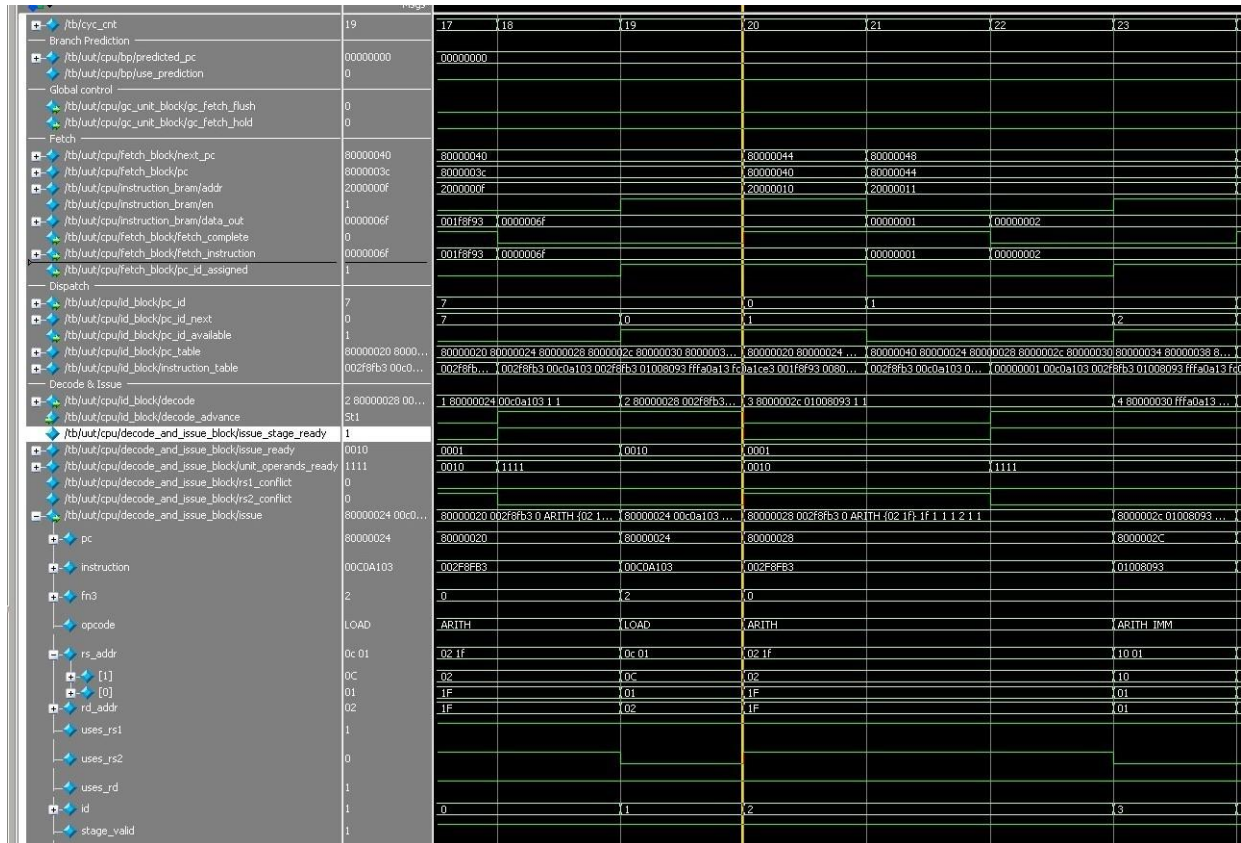


Рисунок 5 – Временная диаграмма выполнения стадии декодирования и планирования на выполнение



Скриншот, полученный в ходе выполнения задания №4 (получить снимок экрана, содержащий временную диаграмму выполнения стадии выполнения команды с адресом 80000010 на первой итерации) представлен на рисунке 6.

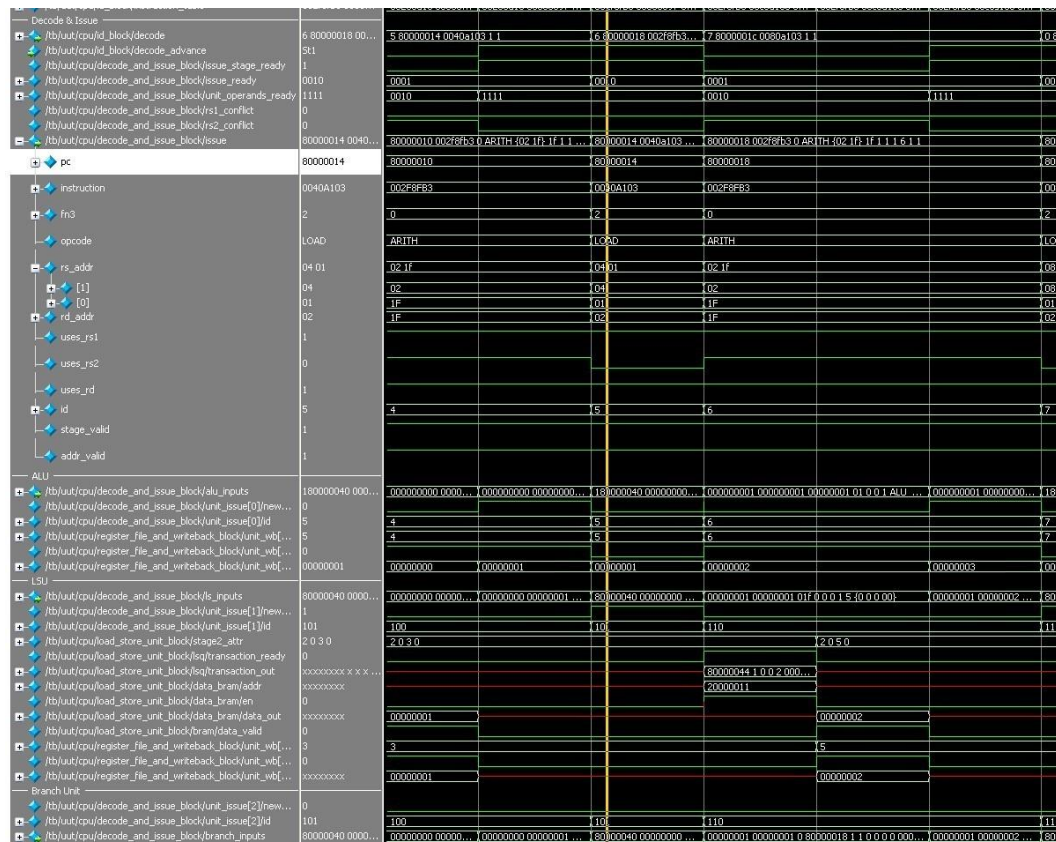


Рисунок 6 – Временная диаграмма выполнения стадии выполнения

# Программа по варианту

Все задания выполнялись по индивидуальному варианту (5).

## Исследуемая программа

Исходный текст исследуемой программы представлен на рисунке 7.

Вариант 5

```
.section .text
.globl _start;
len = 8 #Размер массива
enroll = 2 #Количество обрабатываемых элементов за одну итерацию
elem_sz = 4 #Размер одного элемента массива

_start:
    addi x20, x0, len/enroll
    la x1, _x
    add x31, x0, x0
lp:
    lw x2, 0(x1)
    add x31, x31, x2
    lw x3, 4(x1)
    add x31, x31, x3 #!
    addi x1, x1, elem_sz*enroll
    addi x20, x20, -1
    bne x20, x0, lp
    addi x31, x31, 1
lp2: j lp2

.section .data
_x:
    .4byte 0x1
    .4byte 0x2
    .4byte 0x3
    .4byte 0x4
    .4byte 0x5
    .4byte 0x6
    .4byte 0x7
    .4byte 0x8
```

Рисунок 7 – Исходный текст исследуемой программы

Дизассемблерный листинг исследуемой программы представлен на рисунке 8.

```

MINGW32/c/zolotukhin1/riscv-lab/src
riscv64-unknown-elf-as --march=rv32i t2.s -o t2.o
t2.s: Assembler messages:
t2.s: Warning: end of file not at end of a line; newline inserted
riscv64-unknown-elf-ld -b elf32-littleriscv -T link.ld t2.o -o t2.elf
riscv64-unknown-elf-objdump -D -M numeric,no-aliases -t t2.elf

t2.elf:      file format elf32-littleriscv

SYMBOL TABLE:
80000000 l      d .text 00000000 .text
80000034 l      d .data 00000000 .data
00000000 l      df *ABS* 00000000 t2.o
00000008 l      *ABS* 00000000 len
00000002 l      *ABS* 00000000 enroll
00000004 l      *ABS* 00000000 elem_sz
80000034 l      .data 00000000 _x
80000010 l      .text 00000000 lp
80000030 l      .text 00000000 lp2
80000000 g      .text 00000000 _start
80000054 g      .data 00000000 _end

Disassembly of section .text:

80000000 <_start>:
80000000:      00400a13          addi    x20,x0,4
80000004:      00000097          auipc   x1,0x0
80000008:      03008093          addi    x1,x1,48 # 80000034 <_x>
8000000c:      00000fb3          add     x31,x0,x0

80000010 <lp>:
80000010:      0000a103          lw      x2,0(x1)
80000014:      002f8fb3          add     x31,x31,x2
80000018:      0040a183          lw      x3,4(x1)
8000001c:      003f8fb3          add     x31,x31,x3
80000020:      00808093          addi    x1,x1,8
80000024:      fffa0a13          addi    x20,x20,-1
80000028:      fe0a14e3          bne     x20,x0,80000010 <lp>
8000002c:      001f8f93          addi    x31,x31,1

80000030 <lp2>:
80000030:      0000006f          jal     x0,80000030 <lp2>

Disassembly of section .data:

80000034 <_x>:
80000034:      0001          c.addi  x0,0
80000036:      0000          unimp
80000038:      0002          0x2
8000003a:      0000          unimp
8000003c:      00000003          lb      x0,0(x0) # 0 <enroll-0x2>
80000040:      0004          c.addi4spn x9,x2,0
80000042:      0000          unimp
80000044:      0005          c.addi  x0,1
80000046:      0000          unimp
80000048:      0006          0x6
8000004a:      0000          unimp
8000004c:      00000007          0x7
80000050:      0008          c.addi4spn x10,x2,0
...
riscv64-unknown-elf-objcopy -O binary --reverse-bytes=4 t2.elf t2.bin
xxd -g 4 -c 4 -p t2.bin t2.hex
rm t2.bin t2.o t2.elf

```

Рисунок 8 – Дизассемблерный листинг исследуемой программы

## Трасса работы программы

Трасса работы программы представлена на рисунке 9.

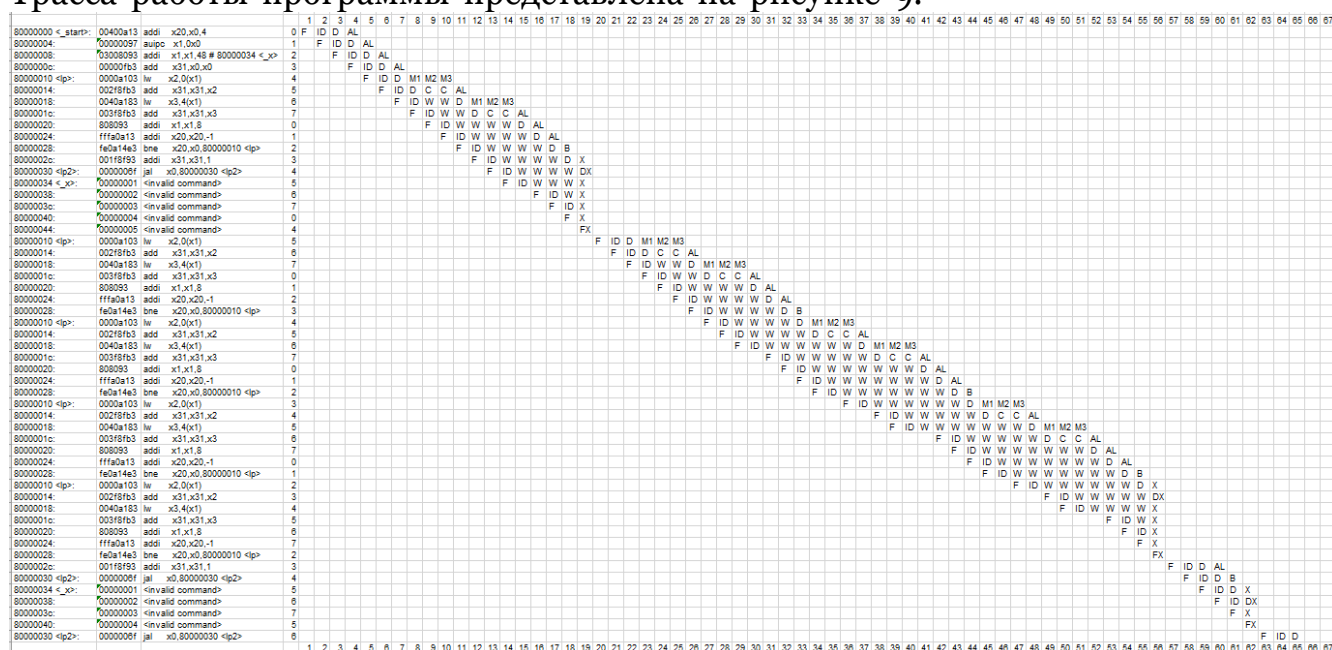


Рисунок 9 – Трасса работы программы

## Временные диаграммы

Временные диаграммы сигналов, соответствующих всем стадиям выполнения команды, обозначенной в тексте программы символом `#!` (`add x31, x31, x3`), представлены на рисунках 10, 11, 12.

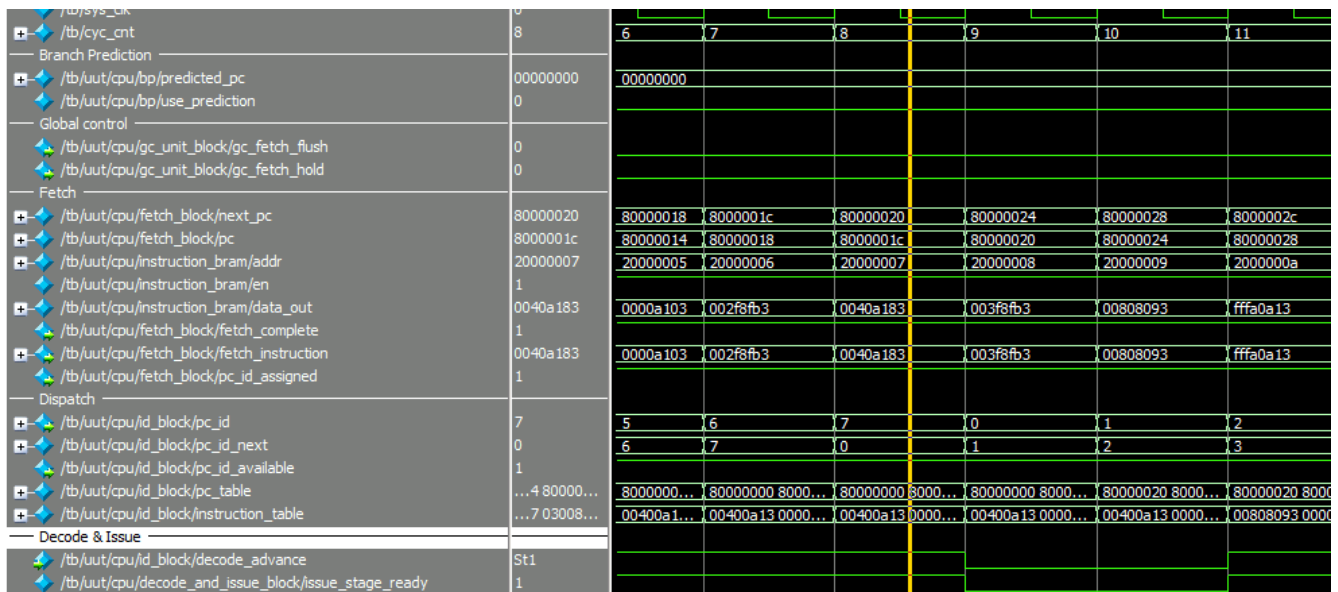


Рисунок 10 – Временная диаграмма стадии выборки и диспетчеризации

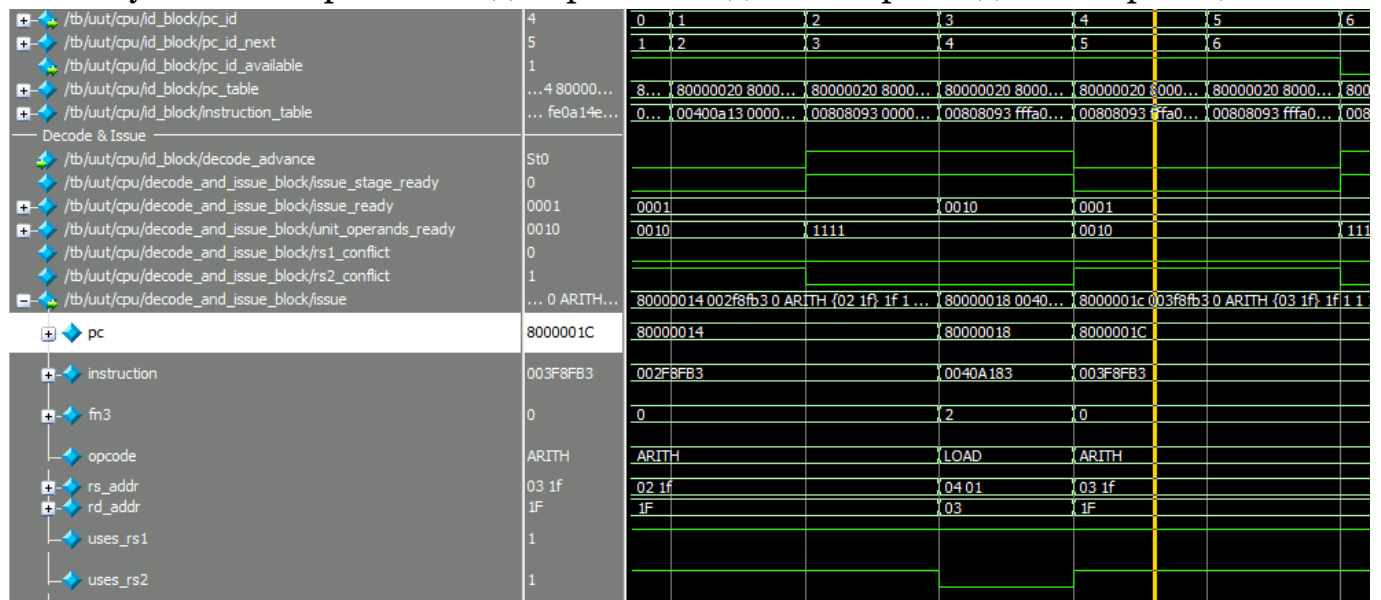


Рисунок 11 – Временная диаграмма стадии декодирования



```

1      .section .text
2      .globl _start;
3      len = 8 #Размер массива
4      enroll = 2 #Количество обрабатываемых элементов за одну и
5      elem_sz = 4 #Размер одного элемента массива
6
7 _start:
8      addi x20, x0, len/enroll
9      la x1, _x
10     add x31, x0, x0
11 lp:
12     lw x2, 0(x1)
13     lw x3, 4(x1)
14     addi x1, x1, elem_sz*enroll
15     addi x20, x20, -1
16     add x31, x31, x2
17     add x31, x31, x3 #!
18     bne x20, x0, lp
19     addi x31, x31, 1
20 lp2: j lp2
21
22     .section .data
23 _x:
24     .4byte 0x1
25     .4byte 0x2
26     .4byte 0x3
27     .4byte 0x4
28     .4byte 0x5
29     .4byte 0x6
30     .4byte 0x7
31     .4byte 0x8

```

Рисунок 13 — Код оптимизированной программы

Дизассемблерный листинг оптимизированной программы представлен на рисунке 14.

```

MINGW32:/c/zolotukhin1/riscv-lab/src
riscv64-unknown-elf-as --march=rv32i t1.s -o t1.o
t1.s: Assembler messages:
t1.s: Warning: end of file not at end of a line; newline inserted
riscv64-unknown-elf-ld -b elf32-littleriscv -T link.ld t1.o -o t1.elf
riscv64-unknown-elf-objdump -D -M numeric,no-aliases -t t1.elf

t1.elf:      file format elf32-littleriscv

SYMBOL TABLE:
80000000 l      d .text 00000000 .text
80000034 l      d .data 00000000 .data
00000000 l      df *ABS* 00000000 t1.o
00000008 l      *ABS* 00000000 len
00000002 l      *ABS* 00000000 enroll
00000004 l      *ABS* 00000000 elem_sz
80000034 l      .data 00000000 _x
80000010 l      .text 00000000 lp
80000030 l      .text 00000000 lp2
80000000 g      .text 00000000 _start
80000054 g      .data 00000000 _end

Disassembly of section .text:

80000000 <_start>:
80000000:      00400a13      addi    x20,x0,4
80000004:      00000097      auipc   x1,0x0
80000008:      03008093      addi    x1,x1,48 # 80000034 <_x>
8000000c:      00000fb3      add     x31,x0,x0

80000010 <lp>:
80000010:      0000a103      lw      x2,0(x1)
80000014:      0040a183      lw      x3,4(x1)
80000018:      00808093      addi    x1,x1,8
8000001c:      fffa0a13      addi    x20,x20,-1
80000020:      002f8fb3      add     x31,x31,x2
80000024:      003f8fb3      add     x31,x31,x3
80000028:      fe0a14e3      bne     x20,x0,80000010 <lp>
8000002c:      001f8f93      addi    x31,x31,1

80000030 <lp2>:
80000030:      0000006f      jal     x0,80000030 <lp2>

Disassembly of section .data:

80000034 <_x>:
80000034:      0001      c.addi  x0,0
80000036:      0000      unimp
80000038:      0002      0x2
8000003a:      0000      unimp
8000003c:      00000003      lb      x0,0(x0) # 0 <enroll-0x2>
80000040:      0004      c.addi4spn x9,x2,0
80000042:      0000      unimp
80000044:      0005      c.addi  x0,1
80000046:      0000      unimp
80000048:      0006      0x6
8000004a:      0000      unimp
8000004c:      00000007      0x7
80000050:      0008      c.addi4spn x10,x2,0
...
riscv64-unknown-elf-objcopy -O binary --reverse-bytes=4 t1.elf t1.bin
xxd -g 4 -c 4 -p t1.bin t1.hex
rm t1.o t1.elf t1.bin

```

Рисунок 14 – Дизассемблированный листинг программы.





## Вывод

В результате выполнения лабораторной работы были изучены принципы функционирования, построения и особенности архитектуры суперскалярных конвейерных микропроцессоров.

Также были рассмотрены принципы проектирования и верификации сложных цифровых устройств с использованием языка описания аппаратуры SystemVerilog и ПЛИС.

На основе изученных материалов был найден способ оптимизации программы.